

EQUAÇÕES DIFERENCIAIS ORDINÁRIAS (EDO)

FÍSICA COMPUTACIONAL

A maioria das leis da Física são convenientemente formuladas em termos de equações diferenciais



A solução de equações diferenciais é uma das tarefas mais comuns para modelar sistemas físicos.

EDOs de ordem superior sempre podem ser escritas na forma de EDOs de primeira ordem introduzindo funções auxiliares:

Ex: movimento unidimensional de uma partícula de massa m sob uma força F

$$m \frac{d^2 z}{dt^2} = F(z) \quad \text{Definindo:} \quad p(t) = m \frac{dz}{dt}$$



$$\frac{dz}{dt} = \frac{p}{m} \quad \text{e} \quad \frac{dp}{dt} = F(z)$$

Conjunto de 2 EDOs de primeira ordem acopladas

FÍSICA COMPUTACIONAL

Estudaremos métodos para resolver equações diferenciais de primeira ordem

$$\frac{dy}{dx} = f(x, y) \quad \text{Para uma única variável dependente } y(x)$$

Serão discutidos vários métodos de resolução de EDOs baseados no problema do valor inicial, ou seja, encontrar $y(x)$ dado o valor de y em algum ponto inicial, $y(x_0)=y_0$

Exemplo: Os valores iniciais da posição e momentum de uma partícula são conhecidos e se quer prever seu movimento posterior utilizando as equações de movimento.

FÍSICA COMPUTACIONAL

MÉTODOS SIMPLES

Problema básico: Dada a EDO $\frac{dy}{dx} = f(x, y)$ e conhecendo a condição inicial $y(x = 0) = y_0$



Encontrar o valor de y para algum x particular (x_1)

Estratégia Geral: Dividir o intervalo $[0, x_1]$ em um número grande N de subintervalos igualmente espaçados de comprimento $h = \frac{x_1}{N}$ e aplicar uma fórmula de recursão que relacione y_n com $\{y_{n-1}, y_{n-2}, \dots\}$, sendo y_n a aproximação de $y(x_n = nh)$.

Permite integrar passo a passo a EDO de 0 até x_1 .

FÍSICA COMPUTACIONAL

MÉTODOS SIMPLES – Método de Euler

Considerando $\frac{dy}{dx} = f(x, y)$ em x_n $y(x = 0) = y_0$

$$\left. \frac{dy}{dx} \right|_{x=x_n} = \frac{y_{n+1} - y_n}{h} + o(h) = f(x_n, y_n) \quad \text{Fórmula de 2 pontos}$$



$$y_{n+1} = y_n + hf(x_n, y_n) + o(h^2)$$

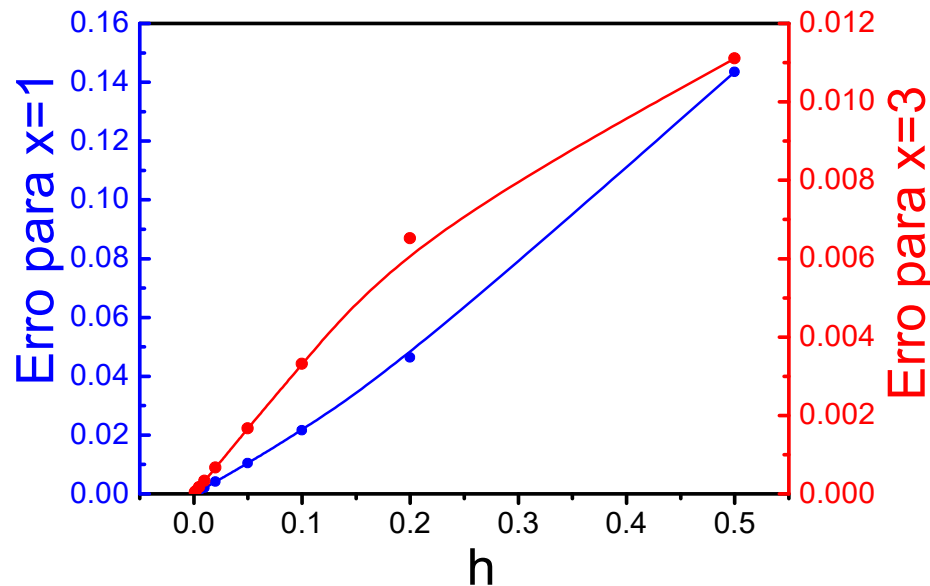
O erro global cometido para encontrar $y(x_1)$ será $N \times o(h^2) \approx o(h)$

MÉTODOS SIMPLES – Método de Euler

Ex: $\frac{dy}{dx} = -xy$ $y(0) = 1$

Solução analítica

$$y = e^{-\frac{1}{2}x^2}$$



h	Erro y(1)	Erro y(3)
0.5	0.14347	0.011109
0.2	0.046331	0.0065193
0.1	0.021626	0.0033179
0.05	0.010453	0.0016647
0.02	0.0040979	0.00066644
0.01	0.0020353	0.00033326
0.005	0.0010143	0.00016663
0.002	0.00040489	6.6654e-005
0.001	0.00020231	3.3327e-005

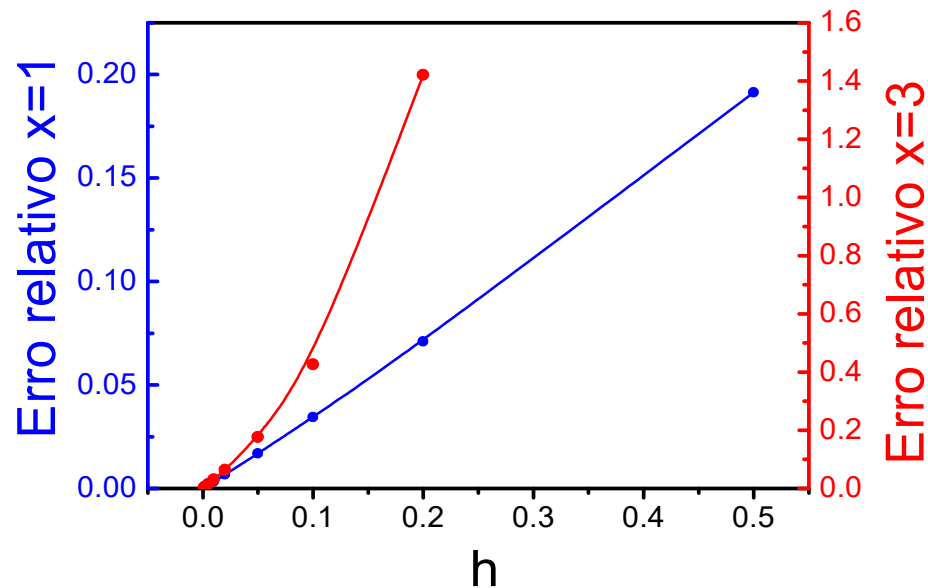
FÍSICA COMPUTACIONAL

MÉTODOS SIMPLES – Método de Euler

Ex: $\frac{dy}{dx} = -xy$ $y(0) = 1$

Solução analítica

$$y = e^{-\frac{1}{2}x^2}$$



h	Er. Rel y(1)	Er. Rel y(3)
0.5	0.19129	--
0.2	0.07097	1.42042
0.1	0.03443	0.42586
0.05	0.01694	0.17627
0.02	0.00671	0.06382
0.01	0.00334	0.03093
0.005	0.00167	0.01523
0.002	6.67101E-4	0.00604
0.001	3.33443E-4	0.00301

FÍSICA COMPUTACIONAL

MÉTODOS SIMPLES – Método de Euler

No exemplo anterior fica evidente que assim que x for maior, o passo h deve ser cada vez mais pequeno para poder obter resultados corretos

Método de Euler- Precisão de baixa ordem



Trabalho numérico totalmente ineficiente

Métodos de integração com precisão de ordem superior são usualmente preferidos no lugar do método de Euler.



Maior precisão com menos passos

FÍSICA COMPUTACIONAL

MÉTODOS SIMPLES – Série de Taylor

$$y(x) = \sum_{n=0}^{\infty} \frac{y^{(n)}(x_0)}{n!} (x - x_0)^n$$

Expandindo f em uma vizinhança de x_0 e calculando seu valor em $x = x_0 + h$

$$y(x_0 + h) = y(x_0) + hy'(x_0) + \frac{h^2}{2}y''(x_0) + o(h^3)$$

$$y(x_0) = y_n$$



$$y_{n+1} = y_n + hy'_n + \frac{h^2}{2}y''_n + o(h^3)$$

mas $y'_n = \frac{dy}{dx} = f(x, y)$ $y''_n = \frac{df}{dx}(x_n, y_n) = \frac{\partial f}{\partial x} + \frac{\partial f}{\partial y} \frac{dy}{dx} = \frac{\partial f}{\partial x} + \frac{\partial f}{\partial y} f$



$$y_{n+1} = y_n + hf + \frac{h^2}{2} \left(\frac{\partial f}{\partial x} + f \frac{\partial f}{\partial y} \right) + o(h^3)$$

f e suas derivadas em (x_n, y_n)

MÉTODOS SIMPLES – Série de Taylor

O erro global utilizando essa relação de recursão é de $o(h^2)$

Útil quando f é conhecida analiticamente e simples o suficiente para aplicar as derivadas.

Aplicando no exemplo anterior

Método de Euler			Série de Taylor	
h	y(1)	y(3)	y(1)	y(3)
0.5	0.14347	0.011109	0.032312	0.0066601
0.2	0.046331	0.0065193	0.0051253	0.00071161
0.1	0.021626	0.0033179	0.0012731	0.000149
0.05	0.010453	0.0016647	0.00031713	3.4096e-005
0.02	0.0040979	0.00066644	5.0624e-005	5.176e-006
0.01	0.0020353	0.00033326	1.2646e-005	1.2717e-006
0.005	0.0010143	0.00016663	3.1603e-006	3.1516e-007
0.002	0.00040489	6.6654e-005	5.0552e-007	5.0164e-008
0.001	0.00020231	3.3327e-005	1.2637e-007	1.2519e-008

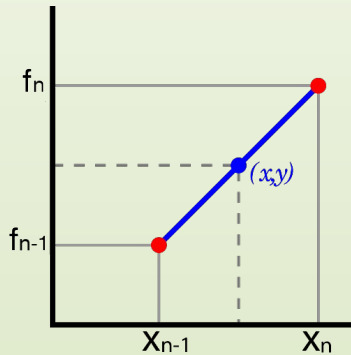
FÍSICA COMPUTACIONAL

MÉTODOS MULTI-PASSOS

Outra via → altas precisões → relações de recursão que relacionam y_{n+1} com y_n , e com pontos anteriores $y_{n-1}, y_{n-2} \dots$

$$\frac{dy}{dx} = f(x, y) \quad \text{Integrando entre } x_n \text{ e } x_{n+1} \quad y_{n+1} = y_n + \int_{x_n}^{x_{n+1}} f(x, y) dx \quad (1)$$

extrapolação linear em x de f



$$a = \frac{f - f_{n-1}}{x - x_{n-1}} = \frac{f_n - f_{n-1}}{x_n - x_{n-1}} h$$

$$f = \frac{x - x_{n-1}}{h} f_n - \frac{x - (x_{n-1} + h)}{h} f_{n-1}$$

$$f = \frac{x - x_{n-1}}{h} f_n - \frac{x - x_n}{h} f_{n-1} + o(h^2) \quad \text{Substituindo em (1) e integrando}$$

FÍSICA COMPUTACIONAL

MÉTODOS MULTI-PASSOS

$$f = \frac{x - x_{n-1}}{h} f_n - \frac{x - x_n}{h} f_{n-1} + o(h^2)$$

$$\begin{aligned} \int_{x_n}^{x_{n+1}} f(x, y) dx &= \frac{1}{h} \left[f_n \int_{x_n}^{x_{n+1}} x dx + f_n x_{n-1} \int_{x_n}^{x_{n+1}} dx - f_{n-1} \int_{x_n}^{x_{n+1}} x dx + f_{n-1} x_n \int_{x_n}^{x_{n+1}} dx \right] \\ &= \frac{1}{h} \left[\underbrace{\frac{f_n}{2} (x_{n+1}^2 - x_n^2) - f_n x_{n-1} \overset{h}{(x_{n+1} - x_n)}}_A - \underbrace{\frac{f_{n-1}}{2} (x_{n+1}^2 - x_n^2) + f_{n-1} x_n \overset{h}{(x_{n+1} - x_n)}}_B \right] \end{aligned}$$

$$A = \frac{f_n}{2} \left[(x_n + h)^2 - x_n^2 \right] - f_n (x_n - h) h = f_n \left(x_n h + \frac{h^2}{2} - x_n h + h^2 \right) = \frac{3}{2} h^2 f_n$$

$$B = -\frac{f_{n-1}}{2} \left[(x_n + h)^2 - x_n^2 \right] + f_{n-1} x_n h = -f_{n-1} \left(x_n h + \frac{h^2}{2} - x_n h \right) = -\frac{1}{2} h^2 f_{n-1}$$

$$y_{n+1} = y_n + h \left(\frac{3}{2} f_n - \frac{1}{2} f_{n-1} \right) + o(h^3)$$

Adams-Bashforth dois passos

FÍSICA COMPUTACIONAL

MÉTODOS MULTI-PASSOS

Métodos de ordem superior podem ser derivados extrapolando com polinômios de grau superior

Ex: Se f for extrapolada por um polinômio cúbico (3ª ordem) que passe pelos pontos f_n , f_{n-1} , f_{n-2} e f_{n-3} resulta no método de Adams-Bashforth de quatro passos

$$y_{n+1} = y_n + \frac{h}{24}(55f_n - 59f_{n-1} + 37f_{n-2} - 9f_{n-3}) + o(h^4)$$

Note que as relações de recursão envolvem vários passos prévios, ou seja, o valor de y_0 não é suficiente para iniciar o cálculo.

Os valores de y nos primeiros pontos da rede devem ser obtidos por algum outro método.

MÉTODOS IMPLÍCITOS

Métodos explícitos estudados até agora ➡ $y_{n+1}(y_n, y_{n-1}, \dots \text{valores já conhecidos})$

Métodos implícitos → Altas precisões (resolver equação para determinar y_{n+1})

$$\frac{dy}{dx} = f(x, y) \quad \text{em } x_{n+\frac{1}{2}} \quad \frac{dy}{dx} \Big|_{x_{n+\frac{1}{2}}} = f\left(x_{n+\frac{1}{2}}, y_{n+\frac{1}{2}}\right)$$

$$\frac{dy}{dx} \Big|_{x_n} = \frac{y(x_n + h) - y(x_n - h)}{2h} + o(h^2) \quad \text{Fórmula de 3 pontos}$$

$$h \rightarrow \frac{1}{2}h \Rightarrow \frac{dy}{dx} \Big|_{x_{n+\frac{1}{2}}} = \frac{y_{n+1} - y_n}{h} + o(h^2)$$

Aproxima-se $f_{n+\frac{1}{2}}$ pela média dos 2 pontos adjacentes

$$f\left(x_{n+\frac{1}{2}}, y_{n+\frac{1}{2}}\right) = \frac{1}{2}(f_n + f_{n+1}) + o(h^2)$$

FÍSICA COMPUTACIONAL

MÉTODOS IMPLÍCITOS

$$\frac{y_{n+1} - y_n}{h} + o(h^2) = \frac{1}{2} (f_n + f_{n+1}) + o(h^2)$$

$$y_{n+1} = y_n + \frac{1}{2} h [f(x_n, y_n) + f(x_{n+1}, y_{n+1})] + o(h^3)$$

A presença de y_{n+1} em ambos lados da equação implica que se deve resolver uma equação não trivial em cada passo de integração

Se f for linear em $y \rightarrow f(x, y) = g(x)y$

$$y_{n+1} = \left[\frac{1 + \frac{1}{2} g(x_n)h}{1 - \frac{1}{2} g(x_{n+1})h} \right] y_n$$

FÍSICA COMPUTACIONAL

MÉTODOS ADAMS-MOULTON – Multi-passos e implícitos

No caso anterior, aproximamos f pela média dos 2 pontos adjacentes (linear)

$$f \cong \frac{1}{2} (f_n + f_{n+1}) \quad (1 \text{ passo})$$

Utilizando um polinômio de ordem 2 passando por f_{n-1}, f_n, f_{n+1} (2 passos)

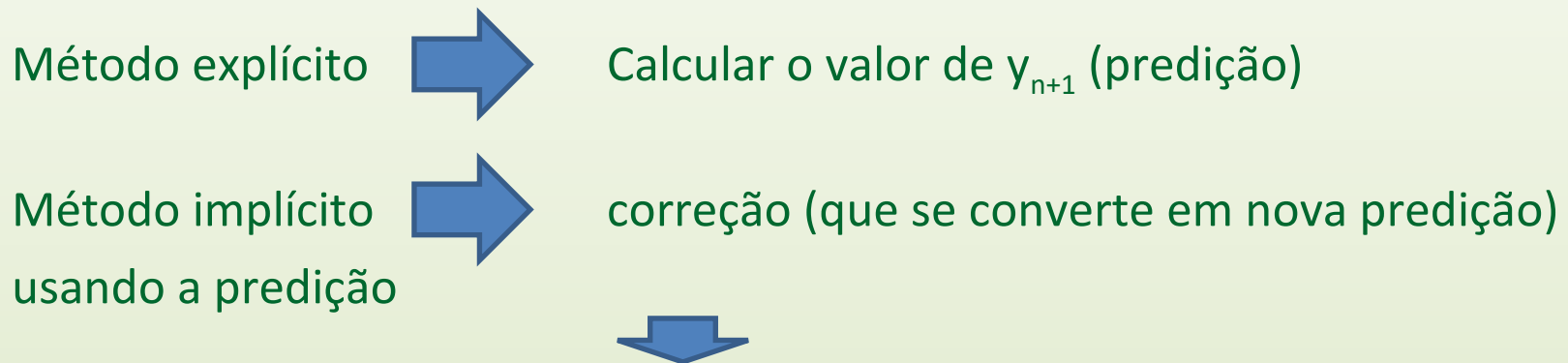
$$y_{n+1} = y_n + \frac{h}{12} (5f_{n+1} + 8f_n - f_{n-1}) + o(h^4)$$

Utilizando um polinômio de ordem 3 passando por $f_{n-2}, f_{n-1}, f_n, f_{n+1}$ (3 passos)

$$y_{n+1} = y_n + \frac{h}{24} (9f_{n+1} + 19f_n - 5f_{n-1} + f_{n-2}) + o(h^5)$$

ALGORITMOS PREDICTOR – CORRECTOR

Os métodos implícitos raramente são utilizados na prática, porém servem como base para a aplicação de algoritmos predictor-corrector



Se $| \text{correção-predição} | < \text{tolerância} \Rightarrow \text{Terminar}$

Por exemplo: Um algoritmo predictor-corrector com erro local de $o(h^5)$

predição → Adams-Bashforth de quatro passos

correção → Adams-Moulton de três passos

MÉTODOS DE RUNGE-KUTTA

Ampla variedade de algoritmos para integrar EDO



Alguns estudados anteriormente



Cada um com suas peculiaridades (vantagens e desvantagens)

Métodos de Runge-Kutta

- Muito convenientes
- Amplamente utilizados
- Podem ser utilizadas várias ordens de precisão

FÍSICA COMPUTACIONAL

MÉTODOS DE RUNGE-KUTTA

Método de Runge-Kutta de 2ª ordem

$$\frac{dy}{dx} = f(x, y) \quad \longrightarrow \quad y_{n+1} = y_n + \int_{x_n}^{x_{n+1}} f(x, y) dx$$

Série de Taylor ao redor do ponto médio do intervalo de integração

$$f(x, y) = \underset{f_0}{f\left(x_{n+\frac{1}{2}}, y_{n+\frac{1}{2}}\right)} + \left(x - x_{n+\frac{1}{2}}\right) \underset{f'_0}{f'\left(x_{n+\frac{1}{2}}, y_{n+\frac{1}{2}}\right)} + \\ + \frac{\left(x - x_{n+\frac{1}{2}}\right)^2}{2} \underset{f''_0}{f''\left(x_{n+\frac{1}{2}}, y_{n+\frac{1}{2}}\right)} + \dots$$

$$\int_{x_{n+\frac{1}{2}} - \frac{1}{2}h}^{x_{n+\frac{1}{2}} + \frac{1}{2}h} f(x, y) dx = f_0 x \Big|_{x_{n+\frac{1}{2}} - \frac{1}{2}h}^{x_{n+\frac{1}{2}} + \frac{1}{2}h} + f'_0 \frac{\left(x - x_{n+\frac{1}{2}}\right)^2}{2} \Big|_{x_{n+\frac{1}{2}} - \frac{1}{2}h}^{x_{n+\frac{1}{2}} + \frac{1}{2}h} + \\ + f''_0 \frac{\left(x - x_{n+\frac{1}{2}}\right)^3}{6} \Big|_{x_{n+\frac{1}{2}} - \frac{1}{2}h}^{x_{n+\frac{1}{2}} + \frac{1}{2}h}$$

FÍSICA COMPUTACIONAL

MÉTODOS DE RUNGE-KUTTA

$$= f_0 \left[\left(\cancel{x_{n+\frac{1}{2}}} + \frac{1}{2}h \right) - \left(\cancel{x_{n+\frac{1}{2}}} - \frac{1}{2}h \right) \right] + f_0 h$$

$$+ f'_0 \left[\frac{\left(\cancel{x_{n+\frac{1}{2}}} + \frac{1}{2}h - \cancel{x_{n+\frac{1}{2}}} \right)^2}{2} - \frac{\left(\cancel{x_{n+\frac{1}{2}}} - \frac{1}{2}h - \cancel{x_{n+\frac{1}{2}}} \right)^2}{2} \right] + = 0$$

$$+ f''_0 \left[\frac{\left(\cancel{x_{n+\frac{1}{2}}} + \frac{1}{2}h - \cancel{x_{n+\frac{1}{2}}} \right)^3}{6} - \frac{\left(\cancel{x_{n+\frac{1}{2}}} - \frac{1}{2}h - \cancel{x_{n+\frac{1}{2}}} \right)^3}{6} \right] o(h^3)$$

$$\int_{x_n}^{x_{n+1}} f(x, y) dx = h f \left(x_{n+\frac{1}{2}}, y_{n+\frac{1}{2}} \right) + o(h^3)$$

FÍSICA COMPUTACIONAL

MÉTODOS DE RUNGE-KUTTA

$$y_{n+1} = y_n + \int_{x_n}^{x_{n+1}} f(x, y) dx \quad \Rightarrow \quad y_{n+1} = y_n + hf\left(x_{n+\frac{1}{2}}, y_{n+\frac{1}{2}}\right) + o(h^3)$$

????

Considerando que o erro global $\sim h^3 \rightarrow h^2$ é uma boa aproximação para $y_{n+1/2}$ (lado direito), já que temos o termo h multiplicando.



Método de Euler

$$y_{n+1} = y_n + hf(x_n, y_n) + o(h^2) \quad \frac{h}{2} \Rightarrow \quad y_{n+\frac{1}{2}} = y_n + \frac{h}{2}f(x_n, y_n)$$

Definamos $k_1 = hf(x_n, y_n) \quad \Rightarrow \quad y_{n+\frac{1}{2}} = y_n + \frac{1}{2}k_1$

FÍSICA COMPUTACIONAL

MÉTODOS DE RUNGE-KUTTA

Algoritmo de Runge-Kutta de 2ª ordem

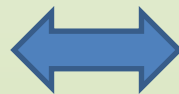
$$y_{n+1} = y_n + hf \left(x_n + \frac{1}{2}h, y_n + \frac{1}{2}k_1 \right) + o(h^3)$$

$$k_1 = hf(x_n, y_n)$$

Os métodos de Runge-Kutta englobam a idéia de substituir aproximações para os valores de y do lado direito de expressões implícitas que envolvem f

Podem ser tão precisos como os métodos utilizando a Série de Taylor, ou métodos implícitos ou multipontos mas não apresentam as limitantes:

- f ser facilmente diferenciável
- Linearidade de y
- Conhecer o valor de y em vários pontos



Avaliação de f 2 vezes por passo

FÍSICA COMPUTACIONAL

$$y_{n+1} = y_n + \frac{1}{6} (k_1 + 4k_2 + k_3) + o(h^4)$$

$$k_1 = hf(x_n, y_n)$$

$$k_2 = hf\left(x_n + \frac{1}{2}h, y_n + \frac{1}{2}k_1\right)$$

$$k_3 = hf(x_n + h, y_n - k_1 + 2k_2)$$

Algoritmo de Runge-Kutta de 3ª ordem

$$y_{n+1} = y_n + \frac{1}{6} (k_1 + 2k_2 + 2k_3 + k_4) + o(h^5)$$

Algoritmo de Runge-Kutta de 4ª ordem

$$k_1 = hf(x_n, y_n)$$

$$k_2 = hf\left(x_n + \frac{1}{2}h, y_n + \frac{1}{2}k_1\right)$$

$$k_3 = hf\left(x_n + \frac{1}{2}h, y_n + \frac{1}{2}k_2\right)$$

$$k_4 = hf(x_n + h, y_n + k_3)$$

Melhor equilíbrio entre precisão e esforço computacional

FÍSICA COMPUTACIONAL

EDOs ACOPLADAS (exemplos)

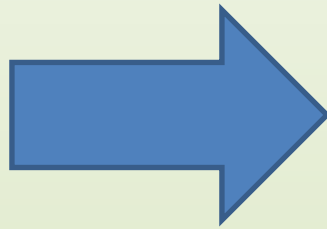
Consideremos o caso de um corpo de massa unitária que apresenta um movimento unidimensional sob a ação de uma força F , que é função do tempo e da posição do corpo $\rightarrow F(t,x)$

$$\frac{d^2x}{dt^2} = f(t, x)$$

Condições iniciais

$$x(t = 0) = x_0$$

$$v(t = 0) = v_0$$



$$\frac{dx}{dt} = v$$

$$\frac{dv}{dt} = f(t, x)$$

FÍSICA COMPUTACIONAL

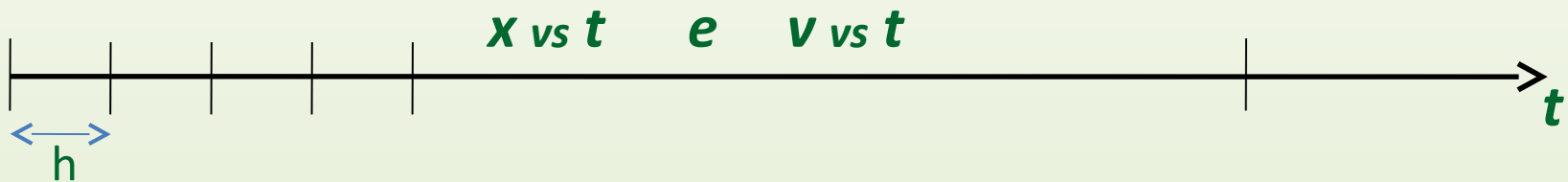
EDOs ACOPLADAS (exemplos)

$$x(t = 0) = x_0$$

$$v(t = 0) = v_0$$

$$x(t_f = 5s) = ?$$

$$v(t_f = 5s) = ?$$



Dividir o intervalo de tempo $t_f - t_0$ em n subintervalos de largura h

$$\frac{dx}{dt} = v \quad \text{Utilizar o valor de } x_0 \text{ e } v_0 \text{ para calcular } x_1 = x_0 + \dots h \dots v_0$$

$$\frac{dv}{dt} = f(t, x) \quad \text{Utilizar o valor de } x_0, v_0 \text{ e } t_0 \text{ para calcular } v_1 = v_0 + \dots h \dots f(t_0, x_0)$$

$t_1 = t_0 + h \rightarrow$ Utilizar t_1, x_1 e v_1 para calcular t_2, x_2 e v_2 e assim sucessivamente

FÍSICA COMPUTACIONAL

EDOs ACOPLADAS (exemplo – Método de Euler)

$$\frac{d^2x}{dt^2} = t + \frac{x}{2}$$

Condições iniciais 1

$$x(t = 0s) = 0m$$

$$v(t = 0s) = 0 \frac{m}{s}$$

Condições iniciais 2

$$x(t = 0s) = 0m$$

$$v(t = 0s) = 2 \frac{m}{s}$$



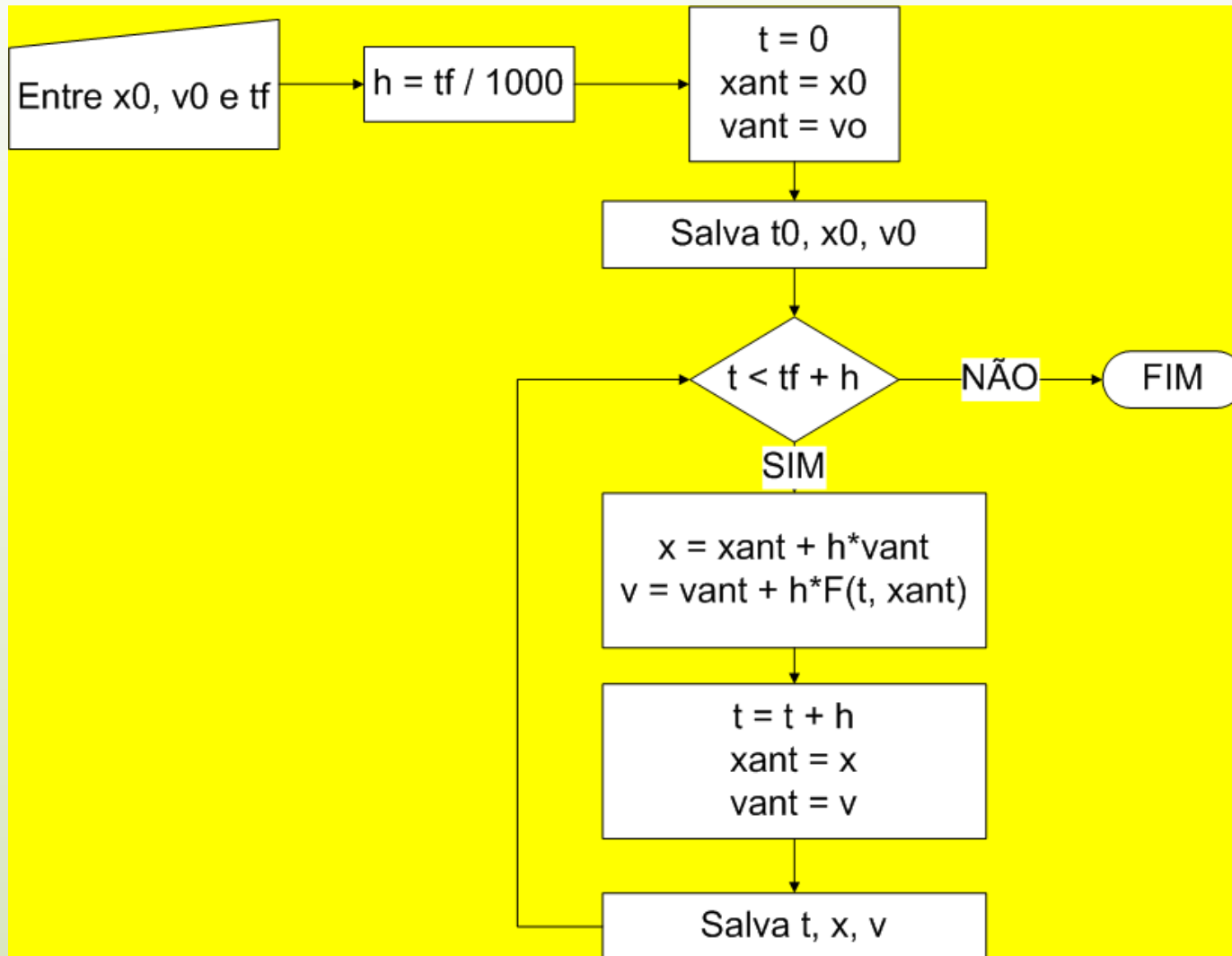
$$\frac{dx}{dt} = v$$

$$\frac{dv}{dt} = t + \frac{x}{2}$$



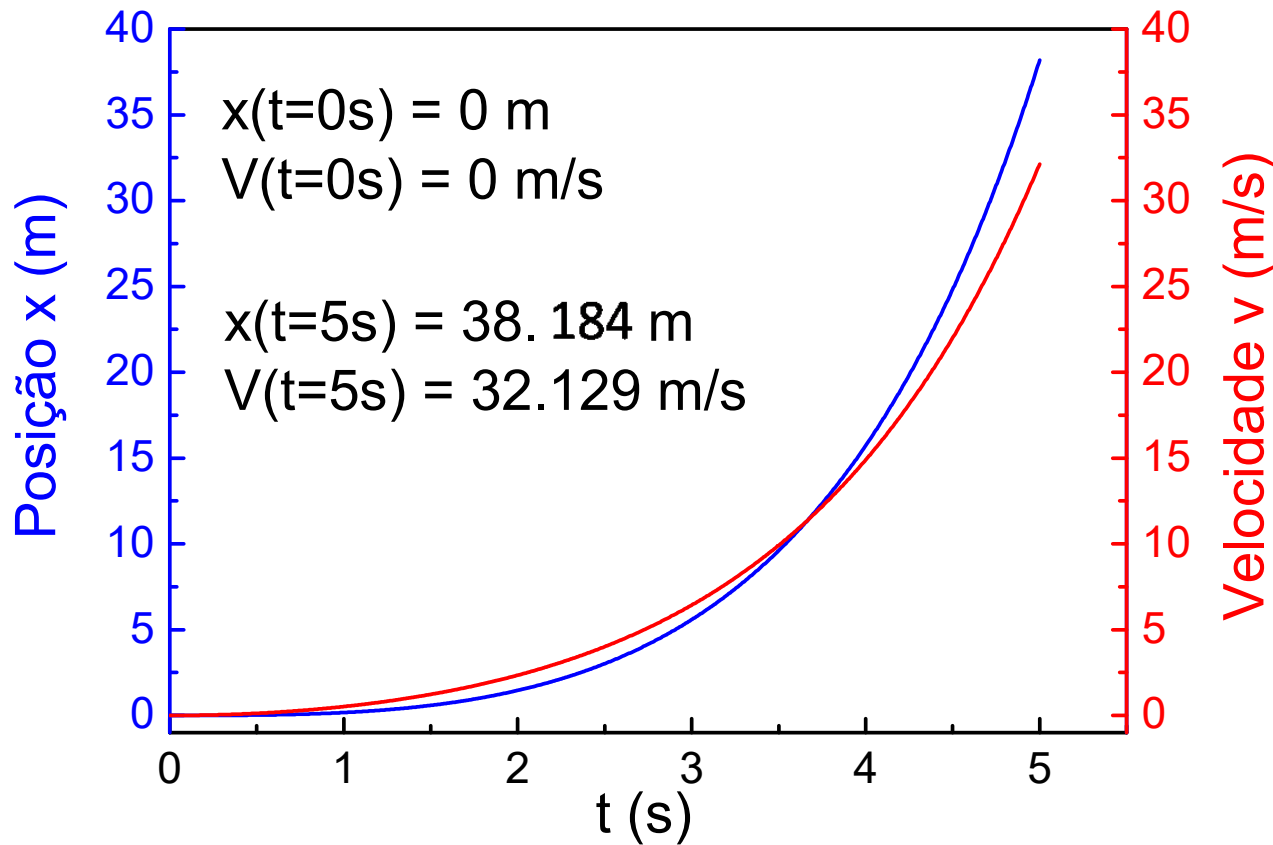
Dependência x vs t e v vs t
por exemplo, entre 0 e 5s

EDOs ACOPLADAS (exemplo – Método de Euler)



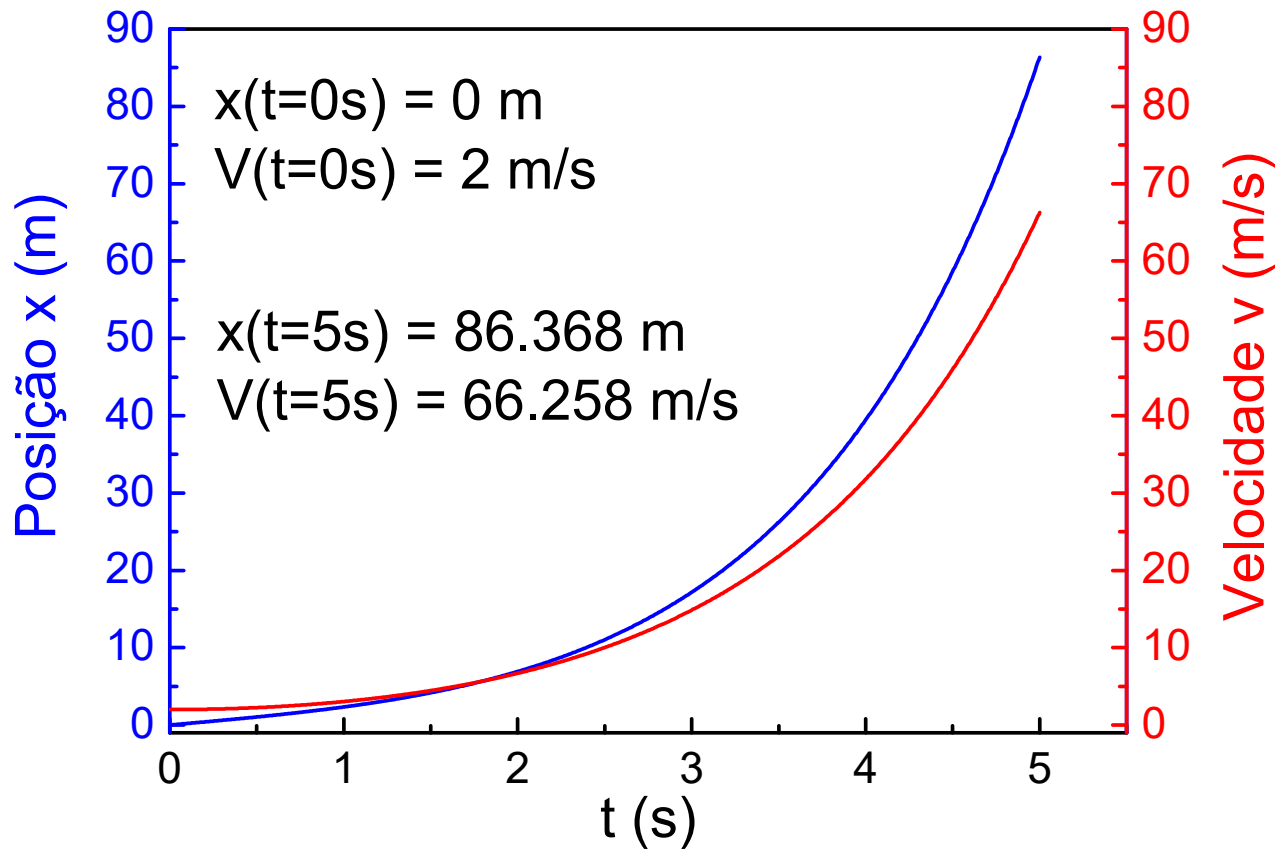
FÍSICA COMPUTACIONAL

EDOs ACOPLADAS (exemplo – Método de Euler)



FÍSICA COMPUTACIONAL

EDOs ACOPLADAS (exemplo – Método de Euler)



FÍSICA COMPUTACIONAL

EDOs ACOPLADAS (exemplo – Runge-Kutta 4ª ordem)

Lembrando

$$y_{n+1} = y_n + \frac{1}{6} (k_1 + 2k_2 + 2k_3 + k_4) + o(h^5)$$

$$k_1 = hf(x_n, y_n)$$

$$k_2 = hf\left(x_n + \frac{1}{2}h, y_n + \frac{1}{2}k_1\right)$$

$$k_3 = hf\left(x_n + \frac{1}{2}h, y_n + \frac{1}{2}k_2\right)$$

$$k_4 = hf(x_n + h, y_n + k_3)$$

Temos 2 equações diferenciais ordinárias para resolver



$$\frac{dx}{dt} = v$$

→ k_1, k_2, k_3, k_4 (são aproximações de x)

$$\frac{dv}{dt} = t + \frac{x}{2}$$

→ m_1, m_2, m_3, m_4 (são aproximações de v)

FÍSICA COMPUTACIONAL

EDOs ACOPLADAS (exemplo – Runge-Kutta 4ª ordem)

$$y_{n+1} = y_n + \frac{1}{6} (k_1 + 2k_2 + 2k_3 + k_4)$$

$$\frac{dx}{dt} = v \quad \frac{dv}{dt} = t + \frac{x}{2}$$

$$k_1 = hf(x_n, y_n)$$

$$k_2 = hf\left(x_n + \frac{1}{2}h, y_n + \frac{1}{2}k_1\right)$$

$$k_3 = hf\left(x_n + \frac{1}{2}h, y_n + \frac{1}{2}k_2\right)$$

$$k_4 = hf(x_n + h, y_n + k_3)$$

$$k_1 = hv$$

$$m_1 = hf(t, x)$$

$$k_2 = h\left(v + \frac{1}{2}m_1\right)$$

$$m_2 = hf\left(t + \frac{1}{2}h, x + \frac{1}{2}k_1\right)$$

$$k_3 = h\left(v + \frac{1}{2}m_2\right)$$

$$m_3 = hf\left(t + \frac{1}{2}h, x + \frac{1}{2}k_2\right)$$

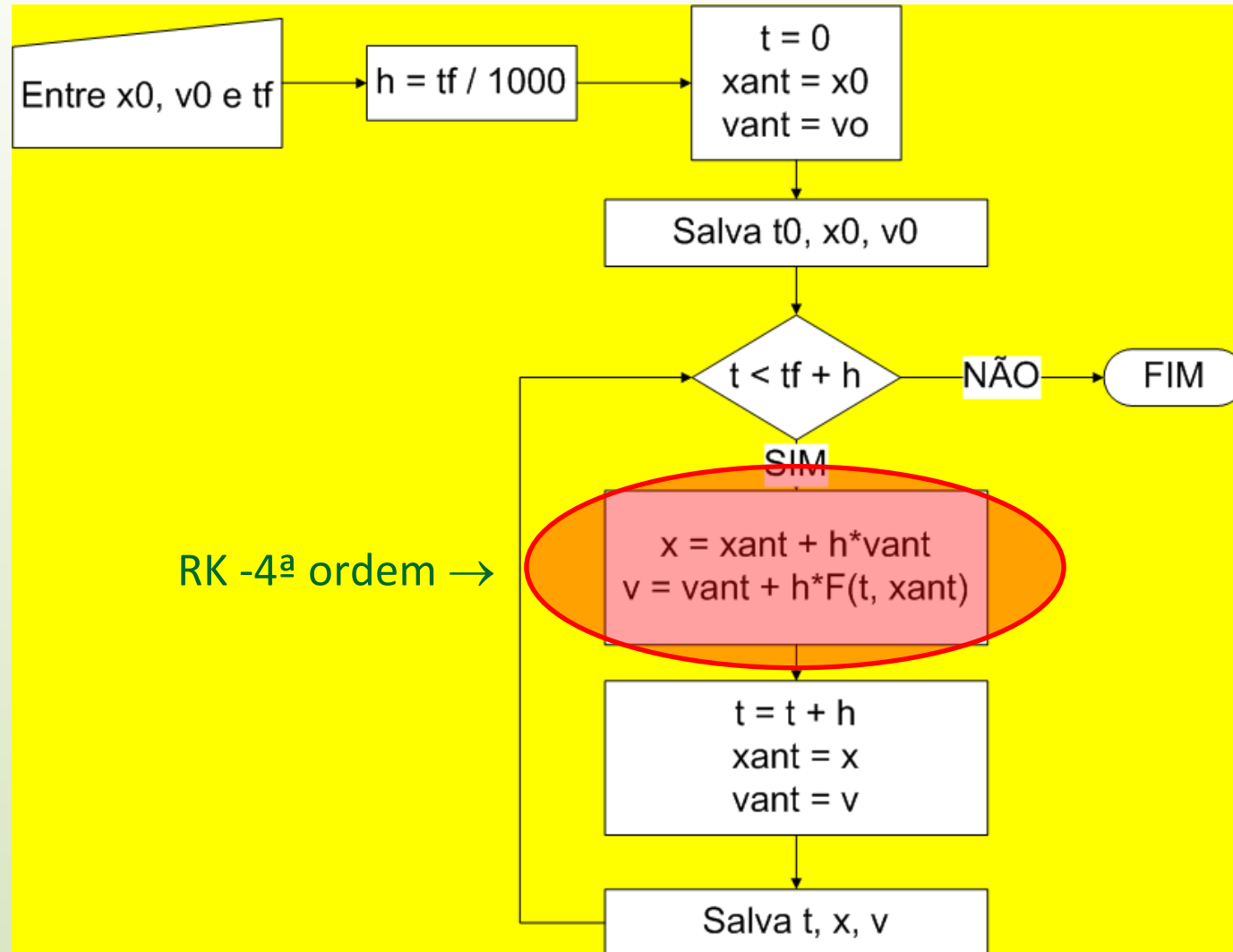
$$k_4 = h(v + m_3)$$

$$m_4 = hf(t + h, x + k_3)$$

$$x_{n+1} = x_n + \frac{1}{6} (k_1 + 2k_2 + 2k_3 + k_4)$$

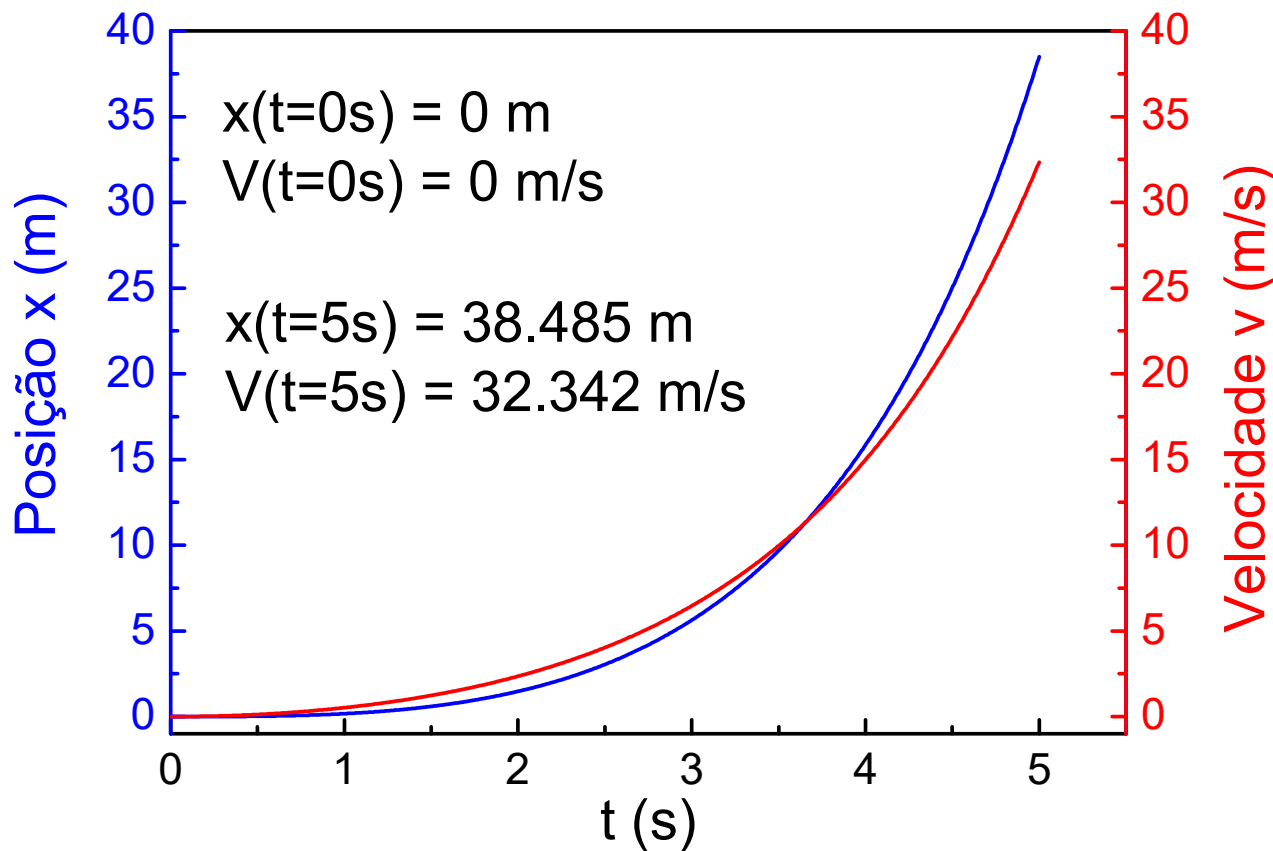
$$v_{n+1} = v_n + \frac{1}{6} (m_1 + 2m_2 + 2m_3 + m_4)$$

EDOs ACOPLADAS (exemplo – Runge-Kutta 4ª ordem)



FÍSICA COMPUTACIONAL

EDOs ACOPLADAS (exemplo – Runge-Kutta 4ª ordem)



Comparar Euler

FÍSICA COMPUTACIONAL

ORDEM E CAOS NO MOVIMENTO EM DUAS DIMENSÕES

Consideremos o movimento de uma partícula de massa unitária com energia baixa o suficiente para permanecer confinada em um potencial V .



$$H = \frac{1}{2} (p_x^2 + p_y^2) + V(x, y)$$

A trajetória da partícula será governada pelas equações de Hamilton e dependerá dos valores iniciais das coordenadas e momentos

$$\frac{dx}{dt} = \frac{\partial H}{\partial p_x} = p_x$$

$$\frac{dy}{dt} = \frac{\partial H}{\partial p_y} = p_y$$

$$\frac{dp_x}{dt} = -\frac{\partial H}{\partial x} = -\frac{\partial V}{\partial x}$$

$$\frac{dp_y}{dt} = -\frac{\partial H}{\partial y} = -\frac{\partial V}{\partial y}$$

FÍSICA COMPUTACIONAL

ORDEM E CAOS NO MOVIMENTO EM DUAS DIMENSÕES

Consideremos o movimento em um potencial central: $H = \frac{p_r^2}{2} + V(r) + \frac{p_\theta^2}{2r^2}$

Para valores fixos da energia e momento angular, o movimento radial é limitado entre 2 pontos r_{in} e r_{out} que são as soluções da equação:

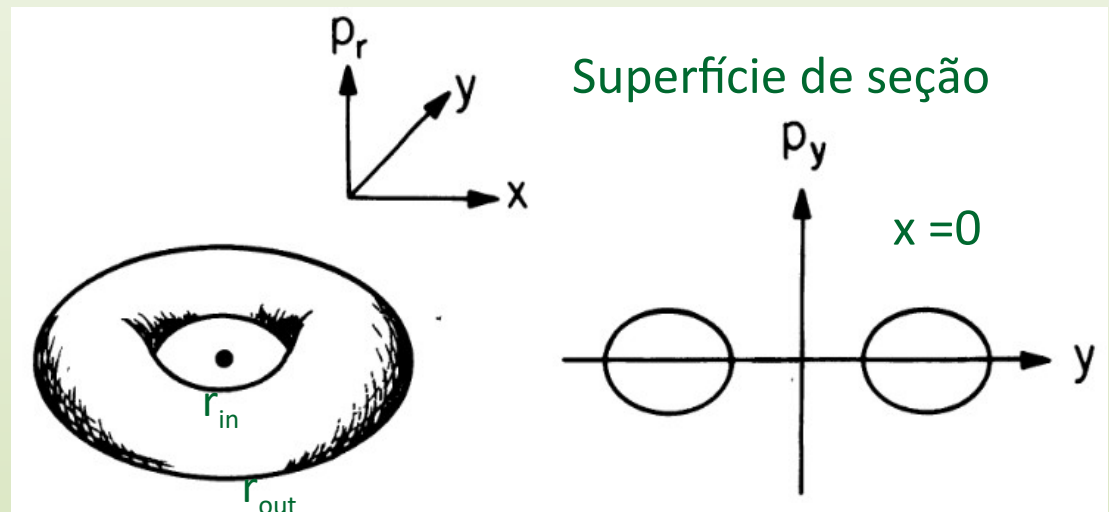
$$E - V(r) - \frac{p_\theta^2}{2r^2} = 0 \quad p_r = 0$$

Para r fixo, o momento radial assume 2 valores

$$p_r = \pm \left(2E - 2V(r) - \frac{p_\theta^2}{r^2} \right)^{\frac{1}{2}}$$



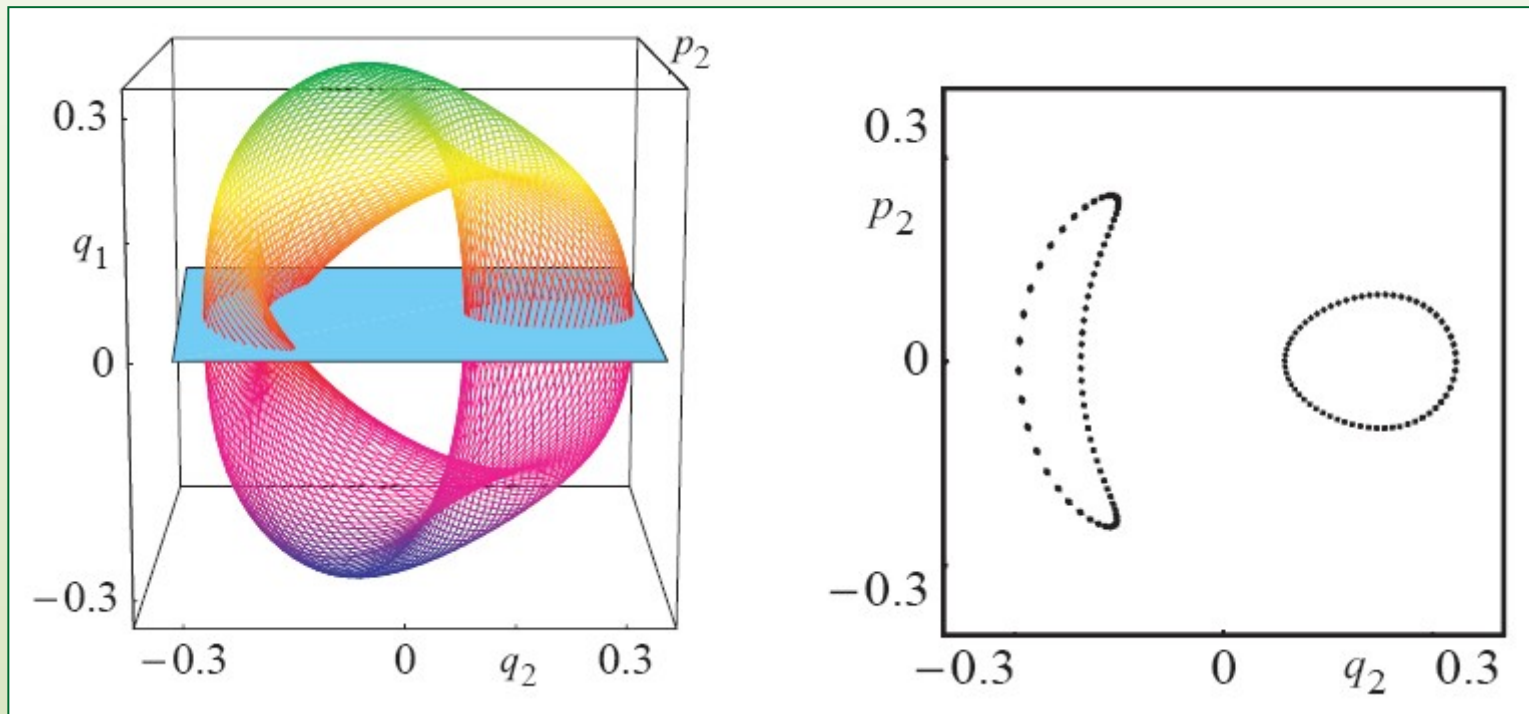
Toroide no espaço de fases



FÍSICA COMPUTACIONAL

ORDEM E CAOS NO MOVIMENTO EM DUAS DIMENSÕES

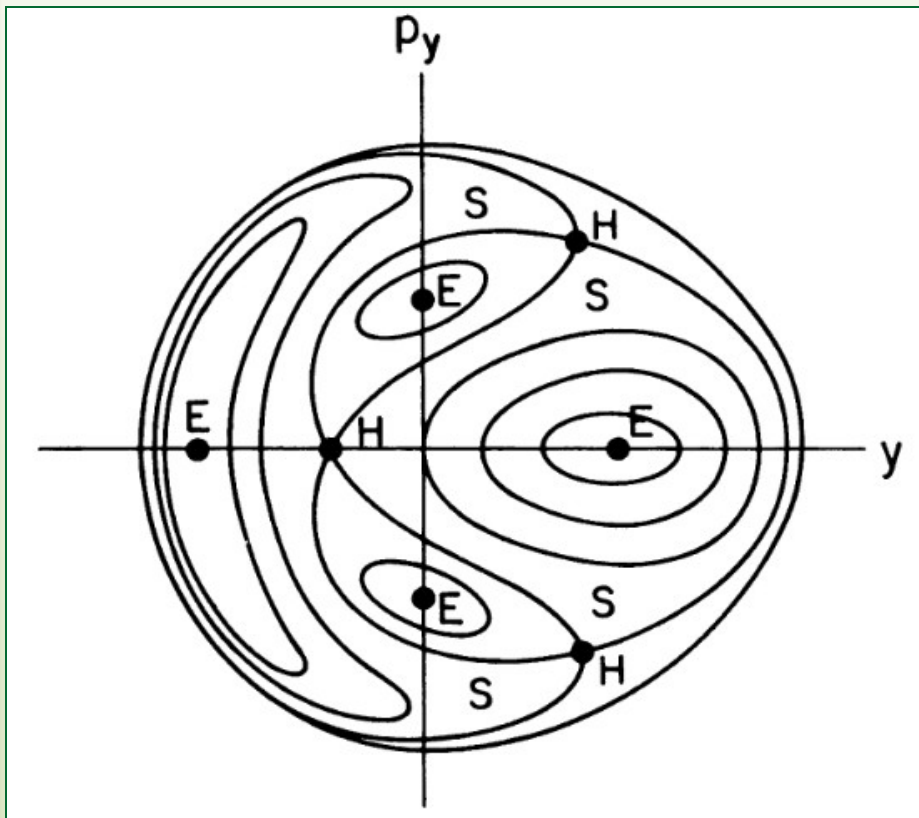
O volume ocupado pelo toroide varia de acordo com o potencial e às condições iniciais, ou seja, podem existir muitos toroides de formas diferentes para uma mesma energia.



FÍSICA COMPUTACIONAL

ORDEM E CAOS NO MOVIMENTO EM DUAS DIMENSÕES

De forma geral, para um conjunto de condições iniciais diferentes, a superfície de seção desses toroides podem parecer das seguintes formas.



Pontos fixos associados com trajetórias que se repetem exatamente depois de alguns períodos.

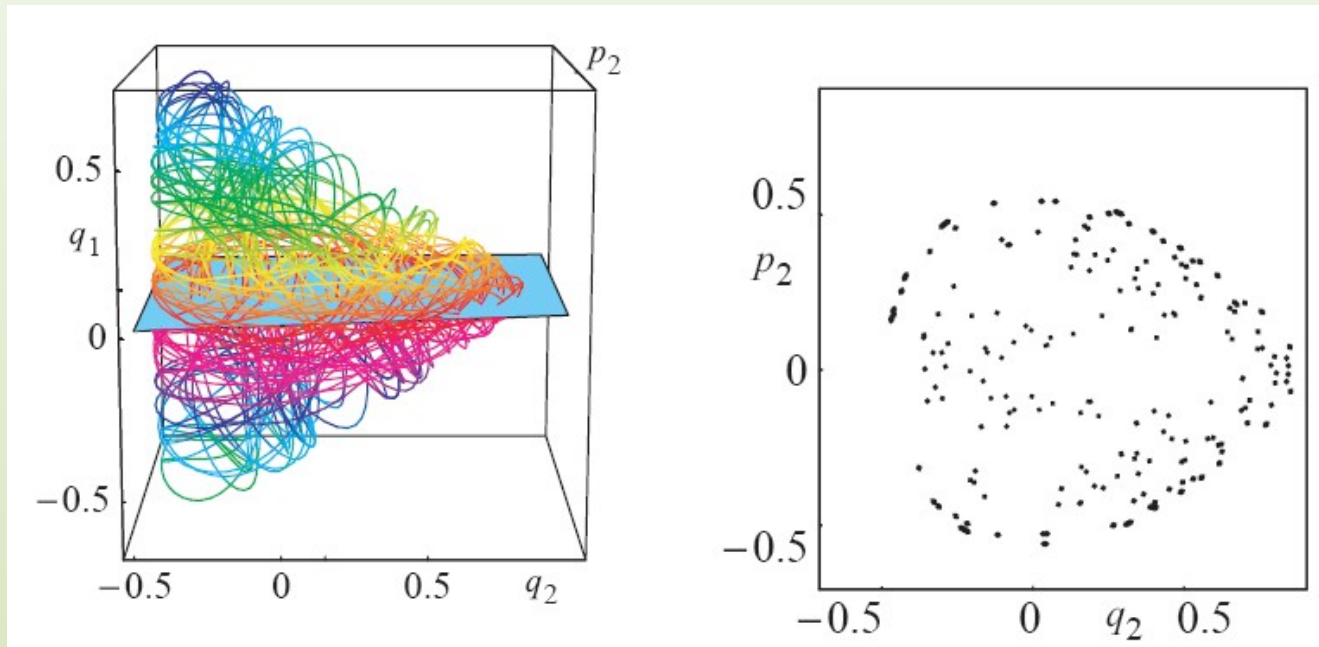
Elípticos – Trajetórias confinadas e estáveis sob pequenas perturbações.

hiperbólicos: Trajetórias instáveis.
Pontos de escape

FÍSICA COMPUTACIONAL

ORDEM E CAOS NO MOVIMENTO EM DUAS DIMENSÕES

Para pequenas perturbações, a maioria dos toroides ao redor de um ponto fixo elíptico se deformam levemente, mantendo a topologia. Porém, pode acontecer que a trajetória fique caótica, mostrando superfícies de seção com pontos distribuídos aleatoriamente.



FÍSICA COMPUTACIONAL

ORDEM E CAOS NO MOVIMENTO EM DUAS DIMENSÕES

Um caso de potencial conveniente para estudar esse tipo de comportamento é o potencial introduzido por Henon e Heiles no estudo de órbitas estelares.

$$V(x, y) = \frac{1}{2} (x^2 + y^2) + x^2 y - \frac{1}{3} y^3$$

Potencial de um oscilador harmônico perturbado

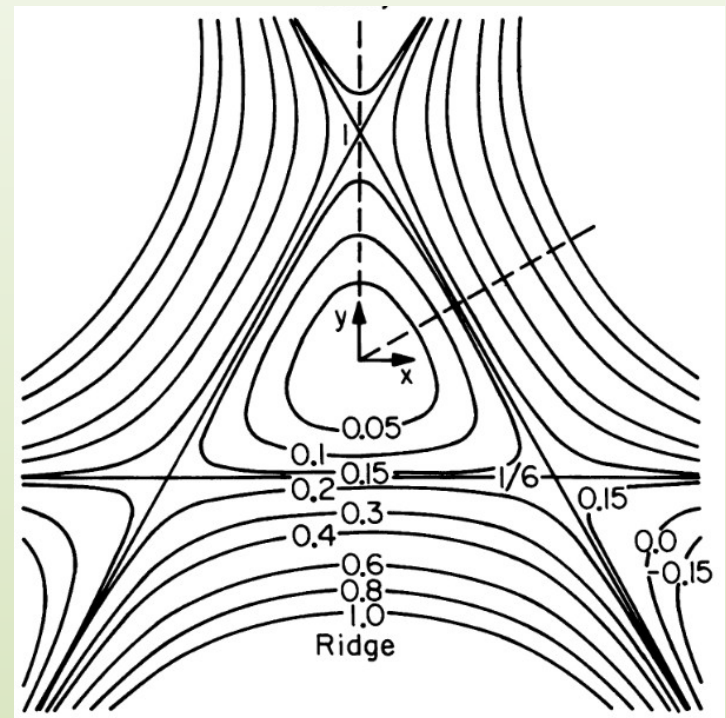
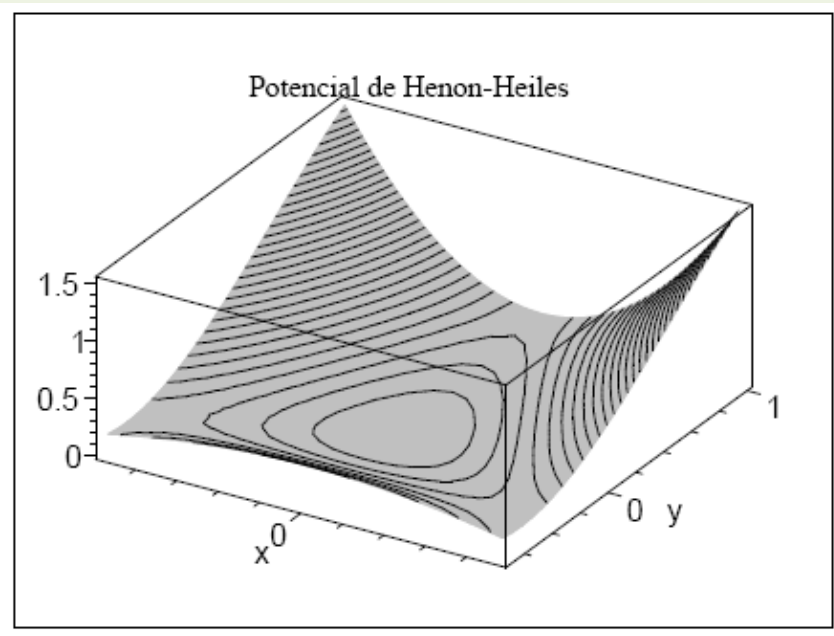
Tal perturbação pode ser considerada como um aumento da energia do sistema

FÍSICA COMPUTACIONAL

ORDEM E CAOS NO MOVIMENTO EM DUAS DIMENSÕES

O potencial de Henon e Heiles:

- Tem um mínimo em $(0, 0)$ onde $V = 0$
- Três pontos de escape onde $V = 1/6$
- A faixa de energias com estados confinados é $0 < E < 1/6$



FÍSICA COMPUTACIONAL

PROJETO 2. MOVIMENTO BI-DIMENSIONAL NO POTENCIAL DE HENON-HEILES

Partindo do Hamiltoniano de uma partícula sob o potencial de Henon-Heiles construa:

- 1- Trajetória da partícula no plano (x,y) para um tempo entre 0 e 100 s;
- 2- Superfície de seção (y,P_y) para $x = 0$.

Considere as seguintes condições iniciais (fornecidas ao sistema) para cada um dos problemas acima (Sempre $x_0 = 0$).

$$E = 1/8$$

$$y_0 = 0.02, P_{y0} = -0.08$$

$$y_0 = 0.2, P_{y0} = 0$$

$$y_0 = -0.1, P_{y0} = 0.04$$

$$y_0 = -0.05, P_{y0} = 0.2$$

$$y_0 = 0.3, P_{y0} = 0.3$$

$$y_0 = -0.12, P_{y0} = 0$$

$$E = 1/12$$

$$y_0 = 0.02, P_{y0} = -0.08$$

$$y_0 = 0.2, P_{y0} = 0$$

$$y_0 = -0.1, P_{y0} = 0.04$$

$$y_0 = -0.05, P_{y0} = 0.2$$

$$y_0 = 0.3, P_{y0} = 0.3$$

$$y_0 = -0.12, P_{y0} = 0$$

FÍSICA COMPUTACIONAL

PROJETO 2. MOVIMENTO BI-DIMENSIONAL NO POTENCIAL DE HENON-HEILES

$$E = \frac{1}{2} (p_x^2 + p_y^2) + \frac{1}{2} (x^2 + y^2) + x^2 y - \frac{1}{3} y^3$$



$$\frac{dx}{dt} = p_x$$

$$\frac{dy}{dt} = p_y$$

$$\frac{dp_x}{dt} = -\frac{\partial V}{\partial x} = -x - 2xy$$

$$\frac{dp_y}{dt} = -\frac{\partial V}{\partial y} = -y - x^2 + y^2$$

4 EDOs acopladas

FÍSICA COMPUTACIONAL

PROJETO 2. MOVIMENTO BI-DIMENSIONAL NO POTENCIAL DE HENON-HEILES

Para integrar as EDOs utilize o método de Runge-Kutta de 4ª ordem.

Ex:

```
j1=h*px;  
k1=h*py;  
m1=h*Fx(x,y);  
n1=h*Fy(x,y);
```

```
j2=h*(px+0.5*m1);  
k2=h*(py+0.5*n1);  
m2=h*Fx(x+0.5*j1,y+0.5*k1);  
n2=h*Fy(x+0.5*j1,y+0.5*k1);
```

.....

.....



```
x+=(j1 + 2*j2 + 2*j3 + j4)/6;  
y+=(k1 + 2*k2 + 2*k3 + k4)/6;  
px+=(m1 + 2*m2 + 2*m3 + m4)/6;  
py+=(n1 + 2*n2 + 2*n3 + n4)/6;
```

FÍSICA COMPUTACIONAL

PROJETO 2. MOVIMENTO BI-DIMENSIONAL NO POTENCIAL DE HENON-HEILES

Exemplo:

